



Laboratorium EMVO Sp. J. Urbański, Pawelak  
ul. Jasna 1  
00-013 Warszawa

tel. +48 22 780 29 64  
e-mail: laboratorium@emvo.pl



AB 1630

## Sprawozdanie z pomiarów pól elektromagnetycznych - środowisko ogólne nr 37/04/OŚ/2022– P4-W



<b>Nr i nazwa stacji</b>	<b>KIE4411A</b>	
<b>Adres</b>	<b>Chęciny, dz. nr 906/17, pow. kielecki, woj. świętokrzyskie</b>	
<b>Opracowanie</b>	<b>Martyna Karczmarczyk</b>	<b>Specjalista ds. pomiarów</b>
<b>Autoryzacja</b>	<b>Andrzej Urbański</b>	<b>Kierownik Laboratorium</b>
<b>Podpis</b>		
<b>Data</b>	<b>2022-04-20</b>	

## Spis treści

1. Informacje ogólne.....	3
2. Podstawa prawna. ....	3
3. Opis pomiarów.....	4
4. Zróżnicowanie dopuszczalne poziomy pól elektromagnetycznych.....	5
5. Charakterystyka źródeł PEM.....	5
6. Wyniki pomiarów.....	5
7. Stwierdzenie zgodności .....	8
8. Oświadczenie.....	8
9. Spis załączników. ....	8

## 1. Informacje ogólne.

Zleceniodawca	<b>P4 sp. z o.o.,</b> ul. Wynałazek 1, 02-677 Warszawa osoba udzielająca informacji- Monika Jankowska
Istotne informacje dostarczone przez klienta	komplet informacji niezbędnych do wykonania pomiarów i opracowania sprawozdania
Dane otrzymane od klienta mogące mieć wpływ na ważność wyników	Dane anten sektorowych, dane anten radioliniowych, parametry pracy instalacji, poprawka pomiarowa, ustawienie pochylenia anten
Prowadzący instalację	P4 sp. z o.o., ul. Wynałazek 1, 02-677 Warszawa
Lokalizacja obiektu	Chęciny, dz. nr 906/17, pow. kielecki, woj. świętokrzyskie
Miejsce instalacji anten	Wieża kratowa
Miejsce instalacji urządzeń	Outdoor
Osoby wykonujące pomiar	Jarosław Buząła
Data wykonania pomiaru	20.04.2022
Temperatura na początku pomiaru [°C]	3,0
Temperatura na koniec pomiaru [°C]	4,0
Warunki atmosferyczne	Brak opadów
Wilgotność na początku pomiaru [%]	90,0
Wilgotność na koniec pomiaru [%]	90,0
Godzina na początku pomiaru	8:11
Godzina na koniec pomiaru	9:53
Inne źródła pól elektromagnetycznych oznaczone na załączniku graficznym	Nie występują
Parametry pracy instalacji	Rzeczywisty

## 2. Podstawa prawna.

### 2.1 Normy i rozporządzenia:

- Rozporządzeniem Ministra Klimatu z dnia 17 lutego 2020 r. w sprawie sposobów sprawdzania dotrzymania dopuszczalnych poziomów pól elektromagnetycznych w środowisku (Dz.U. 2020 poz. 258)
- Rozporządzenie Ministra Zdrowia z dnia 17 grudnia 2019 r. w sprawie dopuszczalnych poziomów pól elektromagnetycznych w środowisku (Dz.U. 2019 poz. 2448)
- Obwieszczenie Marszałka Sejmu Rzeczypospolitej Polskiej z dnia 19 lipca 2019 r. w sprawie ogłoszenia jednolitego tekstu ustawy - Prawo ochrony środowiska (Dz.U. 2019 poz. 1396).

### 3. Opis pomiarów

Metodologia pomiarowa	Pomiary w oparciu o Rozporządzeniem Ministra Klimatu z dnia 17 lutego 2020 r. w sprawie sposobów sprawdzania dotrzymania dopuszczalnych poziomów pól elektromagnetycznych w środowisku (Dz.U. 2020 poz. 258).
Cel badań	Określenie wartości natężenia pola elektrycznego w miejscach dostępnych dla ludności.
Opis zestawu pomiarowego	Miernik Narda NBM 520, Sonda EF 9091, o zakresie pomiarowym 0,7 V/m - 300V/m pracująca w paśmie 0,1 – 90 GHz, świadectwo wydane przez Laboratorium Wzorców i Metrologii Pola Elektromagnetycznego, Instytut Telekomunikacji, Teleinformatyki i Akustyki Politechniki Wrocławskiej. Świadectwo ważne do 07.07.2023. Miernik Narda NBM 520, Sonda EF 9091 pracująca w zakresie temperatury -10°C - +50°C oraz wilgotności 5% - 95%. Niepewność rozszerzona wynosi 57,4% przy poziomie ufności 95% z uwzględnieniem współczynnika rozszerzenia k=2.
Wyposażenie pomocnicze	Termohigrometr Termoprodukt, typ: Termik+, nr identyfikacyjny 700618, świadectwo wzorcowania nr 1763/AH/19 z dn. 29.07.2019 r. wydane przez Laboratorium Pomiarowe "MUTECH". Przymiar wstęgowy STABILA, nr identyfikacyjny 31WL, świadectwo wzorcowania nr 6W1/1826/19 z dn. 02.08.2019 r. wydane przez Dyrektora Okręgowego Urzędu Miar w Gdańsku. GPS Garmin 64s okresowo sprawdzany w punktach osnowy geodezyjnej klasy 3 na podstawie licencji punktu, zgodnie z procedurą sprawdzeń okresowych IS/PO16-11/03.
Pomiary zostały wykonane	<ol style="list-style-type: none"><li>1. na głównych i pomocniczych kierunkach pomiarowych, na kierunkach zbliżonych do azymutów anten oraz w dodatkowych pionach pomiarowych zgodnie z wymaganiami pkt 12, 13, 14 i 19 załącznika do rozporządzenia Ministra Klimatu z dnia 17 lutego 2020 r. (Dz. U. 2020, poz. 258),</li><li>2. na obszarze pomiarowym, dla którego, na podstawie uprzednio wykonanych obliczeń uzyskanych od zleceniodawcy, stwierdzono możliwość występowania pól elektromagnetycznych o poziomach zbliżonych do poziomów dopuszczalnych zgodnie z wymaganiami pkt 5 ppkt 2 oraz pkt 13 ppkt 1 załącznika do rozporządzenia Ministra Klimatu z dnia 17 lutego 2020 r. (Dz. U. 2020, poz. 258). Wyniki obliczeń nie uwzględniały parametrów pracy instalacji innych operatorów występujących na obiekcie bądź w obszarze pomiarowym.</li><li>3. w miejscach dostępnych dla ludności.</li><li>4. miejsca niedostępne podczas wykonywania pomiarów wskazane zostały w pkt 6 (tabeli wyniki pomiarów)</li><li>5. wyniki pomiarów uzyskane zostały przy uwzględnieniu poprawek pomiarowych przekazanych przez zleceniodawcę oraz przy rzeczywistych warunkach pracy instalacji innych operatorów (w przypadku występowania). W takiej sytuacji uwzględniono jednolitą poprawkę pomiarową wynoszącą 1,7.</li></ol>
Szczególne warunki podczas wykonywania pomiarów	Pomiary wykonane zostały podczas obowiązywania w kraju stanu epidemii, zgodnie z art. 122a ust. 1b Ustawy z dnia 27 kwietnia 2001 r. – Prawo ochrony środowiska (Dz. U. z 2019 r. poz. 1396, z późn. zm.9))
Warunki pracy urzędów nadawczych	Podczas pomiarów zostały uwzględnione poprawki pomiarowe przekazane przez zleceniodawcę, umożliwiające uwzględnienie maksymalnych parametrów pracy instalacji zgodnie z pkt 7 załącznika do Rozporządzeniem Ministra Klimatu z dnia

#### 4. Zróżnicowanie dopuszczalne poziomy pól elektromagnetycznych.

Zakresy znajdują się w Dzienniku Ustaw z dnia 17 grudnia 2019 r. przestawione są w tabeli nr 2 (Dz. U. z 2019r. poz. 2448).

Parametr fizyczny	Składowa elektryczna E (V/m)	Składowa magnetyczna H (A/m)	Gęstość mocy S (W/m <sup>2</sup> )
Zakres Częstotliwości pola elektromagnetycznego			
od 400 MHz do 2000 MHz	$1,375 \times f^{0,5}$	$0,0037 \times f^{0,5}$	f / 200
od 2 GHz do 300 GHz	61	0,16	10

#### 5. Charakterystyka źródeł PEM.

Zgodnie z informacją otrzymaną od Klienta pomiary zostały wykonane przy ustawieniach pochylecia anten zgodnych z pkt. 13, ppkt 2 załącznika do rozporządzenia Ministra Klimatu z dnia 17 lutego 2020 roku.

Tabela 1. Anteny sektorowe - dane otrzymane od klienta

Charakterystyka promieniowania		kierunkowa									
Rzeczywisty czas pracy [h/dobę]		24									
Rodzaj wytwarzanego pola		stacjonarne									
Lp	Wyszczególnienie	sektor 1					sektor 2				
I	Nadajnik stacji bazowej:										
1	Typ / Producent	RBS / SRAN Ericsson									
2	Częstotliwość (pasmo) MHz	2600	800	2100	1800	900	2600	800	2100	1800	900
3	Maksymalna moc nadawana na sektor [dBm]	52,04	46,02	52,46	52,46	44,77	52,04	46,02	52,46	52,46	44,77
II	Obciążenie:										
1	Typ anteny	Huawei ATR4518R6		Huawei ATR4518R6		Huawei ATR4518R6		Huawei ATR4518R6			
2	Producent anteny	Huawei		Huawei		Huawei		Huawei			
3	Ilość anten	1		1		1		1			
4	Azymut	60					150				
5	Zakres kątów pochylecia anten [°]	0,00-8,00					0,00-9,00				
6	Wysokość zainst. n.p.t. [m]	41,00					41,00				
7	EIRP [W]	11705		19914		11705		19914			

Charakterystyka promieniowania		kierunkowa									
Rzeczywisty czas pracy [h/dobę]		24									
Rodzaj wytwarzanego pola		stacjonarne									
Lp	Wyszczególnienie	sektor 3					sektor 4				
I	Nadajnik stacji bazowej:										
1	Typ / Producent	RBS / SRAN Ericsson									
2	Częstotliwość (pasmo) MHz	2600	800	2100	1800	900	2600	800	2100	1800	900
3	Maksymalna moc nadawana na sektor [dBm]	52,04	46,02	52,46	52,46	44,77	52,04	46,02	52,46	52,46	44,77
II	Obciążenie:										
1	Typ anteny	Huawei ATR4518R6		Huawei ATR4518R6		Huawei ATR4518R6		Huawei ATR4518R6			
2	Producent anteny	Huawei		Huawei		Huawei		Huawei			
3	Ilość anten	1		1		1		1			
4	Azymut	240					330				
5	Zakres kątów pochylenia anten [°]	0,00-9,00					0,00-6,00				
6	Wysokość zainst. n.p.t. [m]	41,00					41,00				
7	EIRP [W]	11705		19914		11705		19914			

Tabela 2. Anteny radioliniowe- dane otrzymane od klienta

Charakterystyka promieniowania		kierunkowa					
Rzeczywisty czas pracy [h/dobę]		24					
Rodzaj wytwarzanego pola		stacjonarne					
Lp	Linia radiowa			Antena			
	typ/producent	częstotliwość pracy [GHz]	moc wyjściowa [dBm]	typ/producent	średnica anteny [m]	azymut [°]	wysokość zainstal. [m]
1	OPTIX RTN/HUAWEI	80/23	17/25	A23S80S06/Huawei	0,6	81	38,90
2	OPTIX RTN/HUAWEI	80	18	A80S06/Huawei	0,6	276	38,90

## 6. Wyniki pomiarów.

Wyniki pomiarów pól elektromagnetycznych dla celów ochrony środowiska przedstawia poniższa tabela. Piony pomiarowe zostały przedstawione w zał. 2.

Nr PP	Pole-E [V/m]	Pole-E *kE,+U [V/m]	Pole-H [A/m]	Pole-H *kE+U [A/m]	Wys. pomiaru [m]	Opis pionu	Uwagi	WM <sub>E</sub>	WM <sub>H</sub>
1	0,8	2,14	0,002	0,006	0,3-2,0	N:50°48'29.1" E:20°27'40.4"	otoczenie stacji bazowej - 50m wzdłuż gł. osi promieniowania - GKP	0,076	0,078
2	0,8	2,14	0,002	0,006	0,3-2,0	N:50°48'29.9" E:20°27'42.6"	otoczenie stacji bazowej - 100m wzdłuż gł. osi promieniowania - GKP	0,076	0,078
3	0,8	2,14	0,002	0,006	0,3-2,0	N:50°48'30.6" E:20°27'44.8"	otoczenie stacji bazowej - 150m wzdłuż gł. osi promieniowania - GKP	0,076	0,078
4	0,8	2,14	0,002	0,006	0,3-2,0	N:50°48'31.4" E:20°27'47.2"	otoczenie stacji bazowej - 200m wzdłuż gł. osi promieniowania - GKP	0,076	0,078
5	0,7*	2,14	0,002	0,006	0,3-2,0	N:50°48'32.2" E:20°27'49.5"	otoczenie stacji bazowej - 250m wzdłuż gł. osi promieniowania - GKP	0,076	0,078
6	0,7*	2,14	0,002	0,006	0,3-2,0	N:50°48'33.1" E:20°27'51.7"	otoczenie stacji bazowej - 300m wzdłuż gł. osi promieniowania - GKP	0,076	0,078
7	0,7*	2,14	0,002	0,006	0,3-2,0	N:50°48'33.9" E:20°27'54.1"	otoczenie stacji bazowej - 350m wzdłuż gł. osi promieniowania - GKP	0,076	0,078
8	0,7*	2,14	0,002	0,006	0,3-2,0	N:50°48'34.7" E:20°27'56.5"	otoczenie stacji bazowej - 410m wzdłuż gł. osi promieniowania - GKP	0,076	0,078
9	0,9	2,41	0,002	0,006	0,3-2,0	N:50°48'26.9" E:20°27'39.6"	otoczenie stacji bazowej - 50m wzdłuż gł. osi promieniowania - GKP	0,086	0,088

„Bez pisemnej zgody Laboratorium niniejsze sprawozdanie nie może być powielane inaczej, jak tylko w całości. Ponadto wyniki dotyczą tylko badanych obiektów przywołanych w niniejszym sprawozdaniu z badań”

10	0,7*	2,14	0,002	0,006	0,3-2,0	N:50°48'24.1" E:20°27'42.0"	otoczenie stacji bazowej - 150m wzdłuż gł. osi promieniowania - GKP	0,076	0,078
11	0,7*	2,14	0,002	0,006	0,3-2,0	N:50°48'22.7" E:20°27'43.2"	otoczenie stacji bazowej - 200m wzdłuż gł. osi promieniowania - GKP	0,076	0,078
12	0,7*	2,14	0,002	0,006	0,3-2,0	N:50°48'21.3" E:20°27'44.6"	otoczenie stacji bazowej - 250m wzdłuż gł. osi promieniowania - GKP	0,076	0,078
13	0,7*	2,14	0,002	0,006	0,3-2,0	N:50°48'19.4" E:20°27'46.2"	otoczenie stacji bazowej - 320m wzdłuż gł. osi promieniowania - GKP	0,076	0,078
14	0,7*	2,14	0,002	0,006	0,3-2,0	N:50°48'17.1" E:20°27'48.3"	otoczenie stacji bazowej - 395m wzdłuż gł. osi promieniowania - GKP	0,076	0,078
15	0,8	2,14	0,002	0,006	0,3-2,0	N:50°48'27.6" E:20°27'36.2"	otoczenie stacji bazowej - 50m wzdłuż gł. osi promieniowania - GKP	0,076	0,078
16	0,9	2,41	0,002	0,006	0,3-2,0	N:50°48'26.7" E:20°27'33.5"	otoczenie stacji bazowej - 100m wzdłuż gł. osi promieniowania - GKP	0,086	0,088
17	0,8	2,14	0,002	0,006	0,3-2,0	N:50°48'26.1" E:20°27'31.5"	otoczenie stacji bazowej - 150m wzdłuż gł. osi promieniowania - GKP	0,076	0,078
18	0,7*	2,14	0,002	0,006	0,3-2,0	N:50°48'25.5" E:20°27'29.7"	otoczenie stacji bazowej - 200m wzdłuż gł. osi promieniowania - GKP	0,076	0,078
19	0,7*	2,14	0,002	0,006	0,3-2,0	N:50°48'24.5" E:20°27'27.5"	otoczenie stacji bazowej - 250m wzdłuż gł. osi promieniowania - GKP	0,076	0,078
20	0,7*	2,14	0,002	0,006	0,3-2,0	N:50°48'23.8" E:20°27'25.0"	otoczenie stacji bazowej - 300m wzdłuż gł. osi promieniowania - GKP	0,076	0,078
21	0,7*	2,14	0,002	0,006	0,3-2,0	N:50°48'22.9" E:20°27'22.61"	otoczenie stacji bazowej - 350m wzdłuż gł. osi promieniowania - GKP	0,076	0,078
22	0,7*	2,14	0,002	0,006	0,3-2,0	N:50°48'22.0" E:20°27'20.2"	otoczenie stacji bazowej - 410m wzdłuż gł. osi promieniowania - GKP	0,076	0,078
23	0,8	2,14	0,002	0,006	0,3-2,0	N:50°48'29.7" E:20°27'37.3"	otoczenie stacji bazowej - 50m wzdłuż gł. osi promieniowania - GKP	0,076	0,078
24	0,8	2,14	0,002	0,006	0,3-2,0	N:50°48'32.7" E:20°27'34.7"	otoczenie stacji bazowej - 150m wzdłuż gł. osi promieniowania - GKP	0,076	0,078
25	0,7*	2,14	0,002	0,006	0,3-2,0	N:50°48'34.1" E:20°27'33.2"	otoczenie stacji bazowej - 200m wzdłuż gł. osi promieniowania - GKP	0,076	0,078
26	0,7*	2,14	0,002	0,006	0,3-2,0	N:50°48'33.6" E:20°27'31.9"	otoczenie stacji bazowej - 250m wzdłuż gł. osi promieniowania - GKP	0,076	0,078
27	0,7*	2,14	0,002	0,006	0,3-2,0	N:50°48'36.8" E:20°27'30.8"	otoczenie stacji bazowej - 300m wzdłuż gł. osi promieniowania - GKP	0,076	0,078
28	0,7*	2,14	0,002	0,006	0,3-2,0	N:50°48'38.1" E:20°27'29.9"	otoczenie stacji bazowej - 350m wzdłuż gł. osi promieniowania - GKP	0,076	0,078
29	0,7*	2,14	0,002	0,006	0,3-2,0	N:50°48'39.9" E:20°27'28.3"	otoczenie stacji bazowej - 410m wzdłuż gł. osi promieniowania - GKP	0,076	0,078
30	0,7*	2,14	0,002	0,006	0,3-2,0	N:50°48'28.2" E:20°27'41.2"	otoczenie stacji bazowej - 50m wzdłuż gł. osi promieniowania - GKP	0,076	0,078
31	0,7*	2,14	0,002	0,006	0,3-2,0	N:50°48'28.7" E:20°27'36.1"	otoczenie stacji bazowej - 50m wzdłuż gł. osi promieniowania - GKP	0,076	0,078
32	0,7*	2,14	0,002	0,006	0,3-2,0	N:50°48'30.0" E:20°27'39.1"	otoczenie stacji bazowej -PKP	0,076	0,078
33	0,7*	2,14	0,002	0,006	0,3-2,0	N:50°48'22.3" E:20°27'41.7"	otoczenie stacji bazowej -PKP	0,076	0,078
34	0,7*	2,14	0,002	0,006	0,3-2,0	N:50°48'26.6" E:20°27'38.1"	otoczenie stacji bazowej -PKP	0,076	0,078
35	0,7*	2,14	0,002	0,006	0,3-2,0	N:50°48'26.1" E:20°27'35.7"	otoczenie stacji bazowej -PKP	0,076	0,078
36	0,7*	2,14	0,002	0,006	0,3-2,0	N:50°48'29.5" E:20°27'35.5"	otoczenie stacji bazowej -PKP	0,076	0,078
A	0,7*	2,14	0,002	0,006	0,3-2,0	N:50°48'30.9" E:20°27'39.5"	Sienkiewicza 10, pomiar przed posesją -DPP	0,076	0,078
B	0,8	2,14	0,002	0,006	0,3-2,0	N:50°48'29.5" E:20°27'42.4"	Reja 6c, pomiar przed posesją -DPP	0,076	0,078
C	0,8	2,14	0,002	0,006	0,3-2,0	N:50°48'31.2" E:20°27'40.8"	Reja 7, pomiar przed posesją -DPP	0,076	0,078
D	0,7*	2,14	0,002	0,006	0,3-2,0	N:50°48'31.5" E:20°27'48.2"	Królowej Jadwigi 11, pomiar przed posesją -DPP	0,076	0,078
E	0,8	2,14	0,002	0,006	0,3-2,0	N:50°48'25.8" E:20°27'41.2"	Osiedle Północ 135, pomiar przed posesją -DPP	0,076	0,078
F	0,7*	2,14	0,002	0,006	0,3-2,0	N:50°48'21.0" E:20°27'45.1"	Osiedle Północ 124, pomiar przed posesją -DPP	0,076	0,078

„Bez pisemnej zgody Laboratorium niniejsze sprawozdanie nie może być powielane inaczej, jak tylko w całości. Ponadto wyniki dotyczą tylko badanych obiektów przywołanych w niniejszym sprawozdaniu z badań”

G	0,7*	2,14	0,002	0,006	0,3-2,0	N:50°48'20.4" E:20°27'44.5"	Osiedle Północ 123, pomiar przed posesją -DPP	0,076	0,078
H	0,7*	2,14	0,002	0,006	0,3-2,0	N:50°48'19.2" E:20°27'46.5"	Osiedle Północ 92, pomiar przed posesją -DPP	0,076	0,078
I	0,7*	2,14	0,002	0,006	0,3-2,0	N:50°48'17.5" E:20°27'47.8"	Osiedle Północ 94, pomiar przed posesją -DPP	0,076	0,078
J	0,7*	2,14	0,002	0,006	0,3-2,0	N:50°48'16.8" E:20°27'48.5"	Osiedle Północ 79, pomiar przed posesją -DPP	0,076	0,078
K	0,8	2,14	0,002	0,006	0,3-2,0	N:50°48'30.3" E:20°27'36.8"	Sienkiewicza, budynek bez adresu, pomiar przed posesją -DPP	0,076	0,078

Wynik pomiaru pole - E [V/m] - maksymalna wartość chwilowa zmierzona w danym pionie pomiarowym (uśredniona na podstawie punktu 11 Załącznika do Rozporządzenia Ministra Zdrowia).

Przyjęto najniższą dopuszczalną wartość składowej elektrycznej pola dla objętego pomiarami zakresu częstotliwości  $\min(ME_{gr})= 28 \text{ V/m}$  oraz składowej magnetycznej  $\min(MH_{gr})= 0,073 \text{ A/m}$ .

\* - wartość zmierzona poniżej zakresu akredytacji. Do obliczeń przyjęto wartość zgodną z dolną granicą akredytowanego zakresu pomiarowego metody.

GKP - główne kierunki pomiarowe

PKP - pomocnicze kierunki pomiarowe

DPP - dodatkowe punkty pomiarowe

PP - pion pomiarowy

U - niepewność pomiarowa rozszerzona, przy poziomie ufności 95%, z uwzględnieniem współczynnika rozszerzenia  $k=2$

kE - poprawka pomiarowa badanej instalacji radiokomunikacyjnej podana przez operatora ( $kE=1,7$ ), poprawka pomiarowa w przypadku oddziaływania innych instalacji radiokomunikacyjnych na badany obszar ( $kE=2,0$ )

WM<sub>E</sub> - wartość wskaźnikowa poziomu emisji pól elektromagnetycznych dla miejsc dostępnych dla ludności dla składowej elektrycznej pola

WM<sub>H</sub> - wartość wskaźnikowa poziomu emisji pól elektromagnetycznych dla miejsc dostępnych dla ludności dla składowej magnetycznej pola

## 7. Stwierdzenie zgodności

Na podstawie wytycznych podanych w Rozporządzeniu Ministra Zdrowia z dnia 17 grudnia 2019 r. w sprawie dopuszczalnych poziomów pól elektromagnetycznych w środowisku (Dz.U. 2019 poz. 2448) oraz sposobów sprawdzania dotrzymania tych poziomów zgodnie z Rozporządzeniem Ministra Klimatu z dnia 17 lutego 2020 r. w sprawie sposobów sprawdzania dotrzymania dopuszczalnych poziomów pól elektromagnetycznych w środowisku (Dz.U. 2020 poz. 258) dotyczących źródła wymagań, które muszą być spełnione (załącznik do rozporządzenia Ministra Klimatu z dnia 17 lutego 2020 r. (poz. 258)), w oparciu o zasadę podejmowania decyzji zgodną z pkt 26 załącznika do rozporządzenia Ministra Klimatu z dnia 17 lutego 2020 r. (poz. 258), na podstawie wyników pomiarów pól elektromagnetycznych wykonanych w dniu 20.04.2022 stwierdzono, iż w miejscach dostępnych dla ludności, dopuszczalne poziomy pól elektromagnetycznych w środowisku, określone w przepisach wydanych na podstawie art. 122 ust. 1 ustawy z dnia 27 kwietnia 2001 r. – Prawo ochrony środowiska, uznaje się za dotrzymane w obszarze pomiarowym, w którym w wyniku zastosowania sposobu sprawdzenia dotrzymania dopuszczalnych poziomów pól elektromagnetycznych w środowisku, udokumentowano, że żadna z wartości wskaźnikowych nie przekracza wartości 1.

## 8. Oświadczenie.

Wyniki badania odnoszą się wyłącznie do badanego obiektu.

Bez pisemnej zgody sprawozdanie nie może być powielane inaczej, jak tylko w całości.

Uwagi i zastrzeżenia przyjmowane są w formie pisemnej w ciągu 14 dni od daty otrzymania sprawozdania.

## 9. Spis załączników.

Załącznik 1. Lokalizacja obiektu.

Załącznik 2. Widok pionów pomiarowych

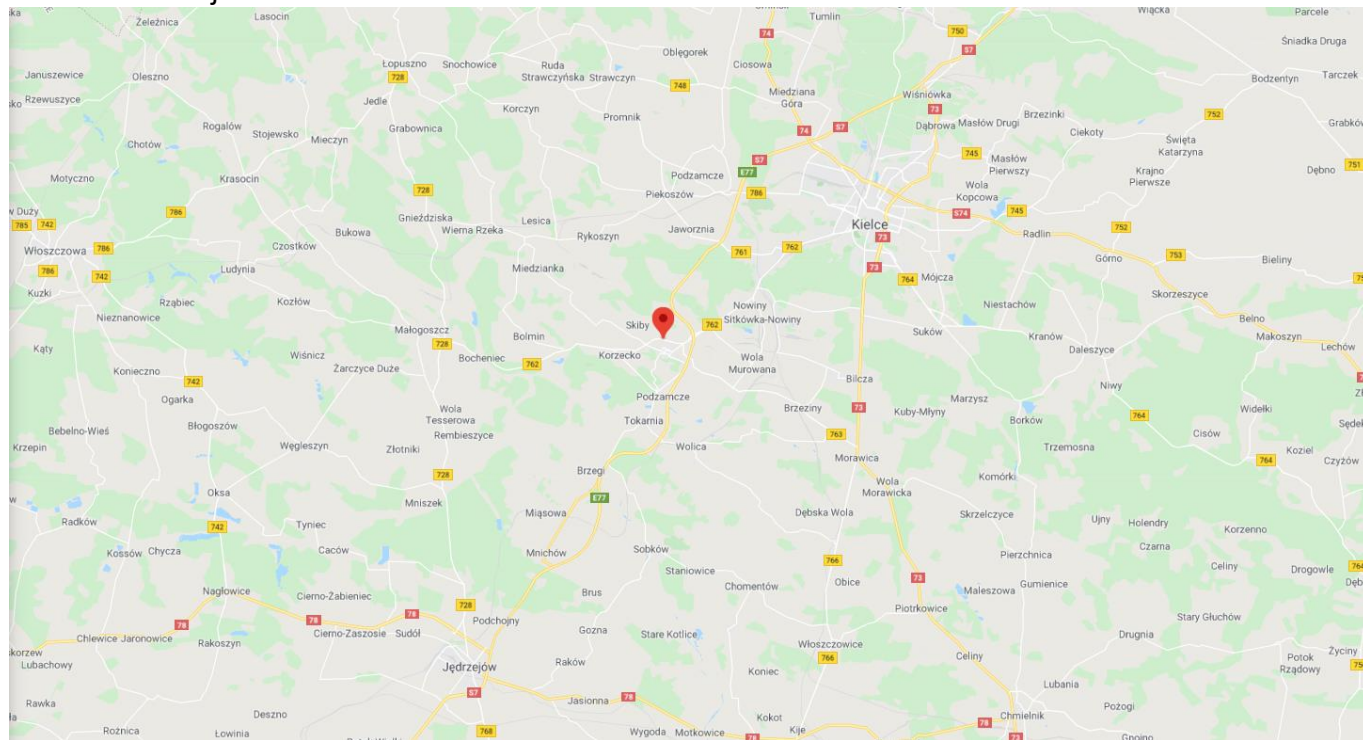
Załącznik 3. Załączniki graficzne

## Koniec sprawozdania

„Bez pisemnej zgody Laboratorium niniejsze sprawozdanie nie może być powielane inaczej, jak tylko w całości. Ponadto wyniki dotyczą tylko badanych obiektów przywołanych w niniejszym sprawozdaniu z badań”



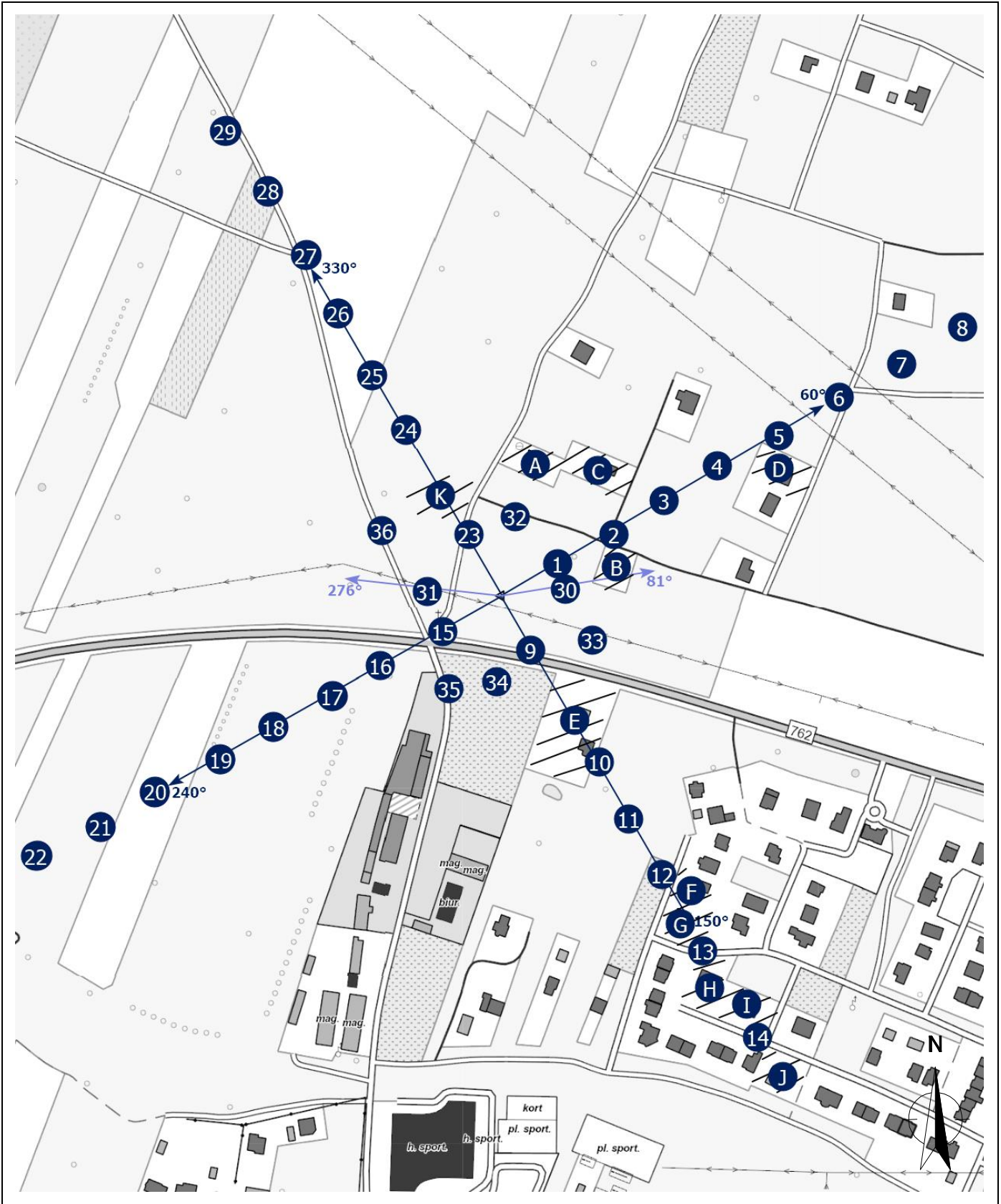
## Zał. 1. Lokalizacja obiektu



### Współrzędne geograficzne

długość:	20°27'38.37"E
szerokość:	50°48'28.32"N

Załącznik 2. Widok pionów pomiarowych



LEGENDA:

inna instalacja radiokomunikacyjna

Odległość, do której zostały wykonane pomiary mierząc od instalacji antenowej wynosi min.: 410 metrów.

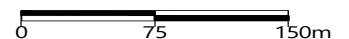
brak dostępu

pion pomiarowy z poprawką pomiarową (brak innych instalacji radiokomunikacyjnych)

pion pomiarowy z poprawką pomiarową (w zasięgu innych instalacji radiokomunikacyjnych)

antena sektorowa  
 antena radioliniowa

Skala: 1:5000



„Bez pisemnej zgody Laboratorium niniejsze sprawozdanie nie może być powielane inaczej, jak tylko w całości. Ponadto wyniki dotyczą tylko badanych obiektów przywołanych w niniejszym sprawozdaniu z badań”

### Załącznik 3. Załączniki graficzne.

